



## پتانسیل‌یابی و اکتشافات ژئوشیمیایی ناحیه‌ای اورانیم با استفاده از عناصر ردیاب در برگه‌ی ۱:۱۰۰,۰۰۰ اسفوردی

یوسف قبیری<sup>\*</sup>, سینا صائبان<sup>۲</sup>, ایوب معمار<sup>۳</sup>

۱- شرکت اکتشاف و تأمین مواد اولیه صنعت هسته‌ای (امکا)، سازمان انرژی اتمی ایران، صندوق پستی: ۱۴۱۵۵-۱۳۳۹، تهران- ایران

۲- دانشکده مهندسی معدن و متالورژی، دانشگاه صنعتی امیرکبیر، صندوق پستی: ۱۵۹۱۴، تهران- ایران

۳- پژوهشکده چرخه سوخت هسته‌ای، پژوهشگاه علوم و فنون هسته‌ای، سازمان انرژی اتمی ایران، صندوق پستی: ۱۱۳۶۵-۸۴۸۶، تهران- ایران

**چکیده:** در راستای اجرای طرح سراسری اکتشاف ذخایر اورانیم در ایران مرکزی توسط سازمان انرژی اتمی ایران، برگه‌ی ۱:۱۰۰,۰۰۰ اسفوردی واقع در استان یزد و در حد فاصل شهرهای بافق و بهاباد مورد بحث جویی و اکتشاف مقدماتی قرار گرفت. به منظور پتانسیل‌یابی عناصر پرتوزا در این برگه، از نتایج تجزیه نمونه‌های رسوب آبراهه‌ای برداشت شده توسط سازمان زمین‌شناسی کشور استفاده شد. چون عناصر اورانیم و توریم و هم‌چنین عناصر خاکی نادر مورد تجزیه قرار نگرفته بودند، از ردیاب‌های اورانیم برای بررسی استفاده شد. فرایند پردازش داده‌ها شامل بهنجارسازی داده‌ها، بررسی‌های تک‌متغیره و چندمتغیره و در نهایت ترسیم و تفسیر نقشه‌ای آنومالی عناصر است. با توجه به نتایج به دست آمده از بررسی‌های ژئوشیمی، سه محدوده به عنوان مناطق پتانسیل‌دار برای ذخایر اورانیم معرفی شد. این سه محدوده توالی‌های مارن و کانگلومرا در شمال‌غرب ناحیه، جنوب توده‌ی گرانیتی زریگان و توالی‌های ماسه‌سنگی همراه با توده‌های کوچک نفوذی در محدوده‌ی اطراف معدن اسفوردی و حد فاصل آن تا حوالی معدن کوشک است. با توجه به نتایج حاصله، می‌توان گفت که برگه‌ی اسفوردی به لحاظ ذخایر اورانیم رسوی اهمیت زیادی دارد.

**واژه‌های کلیدی:** عناصر پرتوزا، رسوب آبراهه‌ای، عناصر کهتمقدار، اسفوردی

## Potential Map Ping and Regional Geochemical Exploration of Uranium by Using Tracers in Esfordi 1:100,000 Sheet

Y. Ghanbari<sup>\*1</sup>, S. Saen<sup>2</sup>, A. Memar<sup>3</sup>

1- Exploration and Preparation of Raw Material of the Nuclear Industry Company (Emka), AEOI, P.O.Box: 14155-1339, Tehran - Iran

2- Mining and Metallurgy Department, Amirkabir University of Technology, P.O.Box: 15914, Tehran - Iran

3- Nuclear Fuel Cycle Research School, Nuclear Science and Technology Research Institute, AEOI, P.O.Box: 11365-8486, Tehran – Iran

**Abstract:** According to Atomic Energy Organization of Iran (AEOI) Uranium exploration program in Central Iran, Esfordi 1:100,000 sheet which is located in Yazd province, between Bafq & Behabad cities was prospected. The analysis result of the stream sediment samples which were collected by the Geography Society of Iran (GSI) have been used for radioactive resources of this area. Due to lacking of uranium, thorium and Rare Earth Elements (REE) analysis data, the uranium tracers have been used. The data processing, i.e. normalization, univariate and multivariate analysis were studied and ultimately, anomalies maps were prepared. Three uranium potential areas were introduced. These areas include marl and conglomerate sequence in North-west of region, south of Zarigan granite and sandstone sequence with aplites between Esfordi mine and Kooshk mine. Thus, Esfordi sheet is important as a sediment hosted uranium deposit.

**Keywords:** Radioactive Elements, Stream Sediment, Tracer Elements, Esfordi

\*email: yghanbari@aeoi.org.ir

تاریخ دریافت مقاله: ۸۸/۲/۵ تاریخ پذیرش مقاله: ۸۸/۱۱/۳۰



## ۱- مقدمه

با توجه به پتانسیل بالای منطقه‌ی ایران مرکزی به لحاظ داشتن ذخایر مواد معدنی گوناگون به ویژه مواد پرتوуз، این ناحیه بسیار مورد توجه سازمان انرژی اتمی ایران بوده و بر این اساس طرح جامعی برای اکتشاف مواد پرتووز در این زون به اجرا گذاشته شده است. یکی از نواحی که در این زون مورد پی‌جویی و اکتشاف قرار گرفته، برگه‌ی ۱:۱۰۰۰۰ اسفوردی است که در استان یزد قرار گرفته و موضوع مورد بررسی در این تحقیق است [۴]. برای پتانسیل‌یابی عناصر پرتووزا در این برگه از داده‌های حاصل از تجزیه‌ی نمونه‌های رسوبات آبراهه‌ای و همچنین از داده‌های رادیومتری هوابرد استفاده شده است. چون نمونه‌ها برای عناصر اورانیم و توریم مورد تجزیه قرار نگرفته‌اند، از عناصر ردیاب، شامل وانادیم، فسفر، روی، مس، آهن، منگنز، استرانسیم و لیتیم برای مطالعات ژئوشیمیایی استفاده شده است. پس از پردازش و تفسیر داده‌های ژئوشیمیایی، نتایج حاصل با نتایج به دست آمده از بررسی داده‌های رادیومتری مقایسه و در نهایت از تلفیق نتایج این دو روش، سه محدوده به عنوان نواحی دارای پتانسیل اکتشافی برای منابع عناصر پرتووزا معرفی شده است.

## ۲- زمین‌شناسی ناحیه‌ی مورد مطالعه

برگه‌ی ۱:۱۰۰،۰۰۰ اسفوردی در استان یزد و در فاصله‌ی ۳۰ کیلومتری شرق شهر بافق قرار دارد. این برگه با وسعتی در حدود ۲۵۰۰ کیلومتر مربع، محدوده‌ی جغرافیایی  $31^{\circ}30' \text{ تا } 32^{\circ}00'$  عرض شمالی و  $55^{\circ}30' \text{ تا } 56^{\circ}00'$  طول شرقی را شامل می‌شود. از دیدگاه چینه‌شناسی، در این برگه می‌توان نهشته‌های ماسه‌سنگ کوارتزی و شیل سیلتی مربوط به پرکامبرین تا رسوبات آبرفتی عهد حاضر را مشاهده نمود [۵].

به لحاظ سنگ‌شناسی سه دسته سنگ مهم را می‌توان در برگه‌ی اسفوردی تشخیص داد. دسته‌ی اول شامل توالی‌های رسوبی است که رخمنونهای مارن و کانگلومراپی در شمال برگه و همچنین رخمنونهای کوچک و بزرگ ماسه‌سنگ و شیلی، در مرکز و شرق و تا حدودی غرب و جنوب آن را دربر می‌گیرد. دسته‌ی دوم شامل توده‌های نفوذی است که از مهم‌ترین آن‌ها می‌توان به توده‌ی گرانیتی زریگان در شمال غرب، توده‌ی ناریگان در مرکز و توده‌ی گرانیتی بهباد در شرق برگه اشاره کرد. دسته‌ی سوم نیز توالی‌های آهکی در جنوب و غرب و رخمنونهای پراکنده‌ی آن در سایر نقاط را دربر دارد [۶].

با توجه به کاهش ذخایر سوخت‌های فسیلی (که از منابع مهم انرژی به شمار می‌روند) از یک سو و تجدیدپذیری طولانی مدت آن‌ها از سوی دیگر، توجه بشر به سمت و سوی منابع جدید انرژی معطوف شده است. یکی از مهم‌ترین منابع جدید انرژی، انرژی هسته‌ای است و به همین دلیل ذخایر عناصر پرتووزا بسیار مورد توجه بوده و اکتشاف و استخراج آن‌ها برای هر کشور به عنوان یک دارایی راهبردی قلمداد می‌گردد.

در بین عناصر پرتووزا، اورانیم به لحاظ کاربرد آن در رآکتورهای هسته‌ای از اهمیت ویژه‌ای برخوردار است. اورانیم در سال ۱۸۹۲ توسط م. کلپروت، شیمی‌دان آلمانی کشف و با دست یابی به رابطه‌ی همارزی جرم و انرژی اینشتین ( $E=mc^2$ ) اورانیم به عنوان ماده‌ای برای تولید انرژی مطرح و از آن پس به عنوان یکی از منابع انرژی استفاده شد. اورانیم طبیعی دارای سه ایزوتوپ بوده و فراوانی آن در پوسته (مقدار کلارک) برابر  $2,5\text{ppm}$  است که مقدار آن از سنگ‌های بازیک به سمت اسیدی افزایش می‌یابد. حداقل عیار قابل استخراج اورانیم به روش‌های معمولی، در کانسنگ آن برابر با  $0,1\%$  درصد است [۱]. کانی‌های اورانیم در محیط کاهنده شامل اکسیدهای اورانیم است که مهم‌ترین آن‌ها اورانینیت و پچبلاند می‌باشد. کانی‌های محیط اکسیده شامل گروه وانادات‌ها، فسفات‌ها، سیلیکات‌ها و آرسنات‌ها است [۲].

براساس طبقه‌بندی دالکام [۱]، کانسارهای مهم اورانیم به ترتیب شامل کانسارهای دگرشیبی، کانسارهای ماسه‌سنگی، تکتولیتولوژیک، کانگلومراپی، کانسارهای رگه‌ای، کمپلکس برشی، کانسارهای آذرین، فسفریتی، آتشفشاری و دگرگونی است. از میان کانسارهای یاد شده، کانسارهای ماسه‌سنگی و کانگلومراپی اهمیت بسیاری دارند، به طوری که بیشتر معادن در حال استخراج در دنیا از این نوع کانسارها هستند.

مهم‌ترین روش‌های اکتشاف ذخایر اورانیم شامل اکتشافات ژئوشیمیایی و ژئوفیزیکی است. روش‌های ژئوشیمی، شامل نمونه‌برداری و مطالعه‌ی رسوبات آبراهه‌ای، خاک‌های سطحی، آب‌های سطحی و زیرزمینی، نمونه‌برداری لیتوژئوفیزیمی و مطالعه‌ی مغره‌های حفاری است. در اکتشافات ژئوفیزیکی، از روش‌های رادیومتری هوابرد و زمینی، روش امانومتری و همچنین روش‌های ژئوفیزیکی غیررادیومتری شامل مغناطیس‌سنگی، گرانی سنجی و ژئوکتریک بهره برد می‌شود [۳].



با توجه به این که خطای مجاز تجزیه برای نمونه‌های تکراری ۱۰ درصد در نظر گرفته می‌شود [۸]، نتایج تجزیه برای عناصری چون وانادیم، نیکل، مس، منگنز و ... قابل اطمینان نبوده و در مراحل بعدی پردازش و تفسیر نتایج، می‌بایست به آن‌ها توجه می‌شد.

### ۲-۳ پردازش داده‌ها

داده‌های سنسورد داده‌هایی هستند که مقادیر عددی آن‌ها کوچک‌تر یا بزرگ‌تر از حد حساسیت دستگاه تجزیه می‌باشد. این داده‌ها عدم تشخیص دستگاه را نشان داده و در داده‌پردازی معنی‌دار نیستند. لذا، به روش‌های مختلف باید جای‌گزین شوند.

از جمله‌ی این روش‌ها می‌توان به موارد زیر اشاره کرد [۸]

- بیش‌ترین درست‌نمایی کوهن،
- نصف مقدار سنسورد برای داده‌های با مقادیر عددی کوچک‌تر و  $1/5$  برابر برای داده‌های با مقادیر بزرگ‌تر از حد حساسیت،
- $3/4$  مقدار سنسورد برای داده‌های با مقادیر عددی کوچک‌تر و  $4/3$  برای داده‌های با مقادیر بزرگ‌تر از حساسیت دستگاه،

با توجه به این که تعداد داده‌های سنسورد برای عناصر W، Ag، As، Bi، Cd، Mo، Sb، Sn بسیار زیاد و درصد آن نسبت به کل نمونه‌ها بیش از ۹۰ درصد بود، این عناصر از فرایند پردازش حذف شدند و سایر داده‌ها با استفاده از روش سوم جای‌گزین شدند.

### ۳-۳ مطالعات آماری تک متغیره

مهم‌ترین گام در پردازش داده‌ها، به دست آوردن پارامترهای آماری و نحوه‌ی توزیع آن‌ها است [۹]. پارامترهای مورد بررسی عبارت‌اند از میانگین، میانه، مدل، انحراف معیار و واریانس، چولگی و کشیدگی، بیشینه و کمینه داده‌ها، که برای نمونه‌ی برگه اسفورودی محاسبه و در جدول ۱ نشان داده شده است. این اطلاعات نحوه‌ی پراکندگی داده‌ها حول میانگین و نوع توزیع داده‌ها را به نمایش می‌گذارد. براساس اطلاعات جدول ۱، جامعه‌ی داده‌های خام عناصری مانند منگنز توزیع بهنجار دارند. برای مشخص نمودن تابع توزیع می‌توان از هیستوگرام داده‌ها نیز استفاده نمود. برای تمامی داده‌ها هیستوگرام مریوطه ترسیم شده است که در اینجا به عنوان نمونه، هیستوگرام عنصر روی در شکل ۲ نشان داده شده است.

به لحاظ ساخت‌شناختی بیش‌تر گسل‌های موجود با توده‌های نفوذی مرتبط بوده و در اطراف آن‌ها مشاهده می‌شود. مهم‌ترین گسل، گسل کوهبنان می‌باشد که در شمال شرق محدوده قرار دارد. این گسل از نوع معکوس بوده و امتداد آن شمال‌غربی-جنوب‌شرقی است که سبب جابه‌جایی و به هم ریختگی توالي مارن، ماسه‌سنگ و کانگلومرا در این بخش شده است.

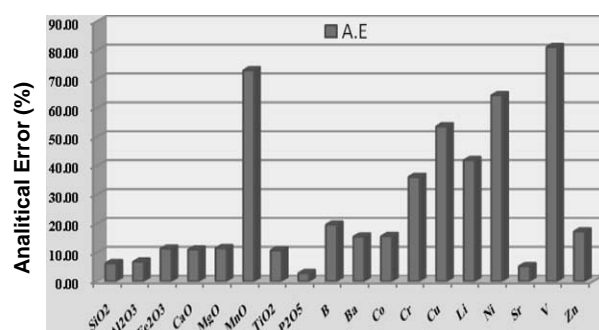
از دیدگاه زمین‌شناسی اقتصادی کانسارها و معادن مختلفی در ناحیه وجود دارد که از جمله‌ی آن‌ها می‌توان به معادن سرب و روی کوشک، سنگ آهن سه‌چاهون، آپاتیت-مگنتیت اسفورودی و منگنز ناریگان اشاره کرد [۴].

### ۳- مطالعات ژئوشیمیایی

#### ۳-۱ نمونه‌برداری و تجزیه‌ی نمونه‌ها

برای مطالعات ژئوشیمیایی، از داده‌های نمونه‌های رسوبات آبراهه‌ای برداشت شده توسط سازمان زمین‌شناسی کشور استفاده شده است. در مجموع تعداد ۸۴۳ نمونه از کل برگه برداشت شده که با توجه به وسعت تقریبی ۲۵۰۰ کیلومتر مربع آن، چگالی شبکه‌ی نمونه‌برداری، یک نمونه به ازای هر ۳۳ کیلومتر مربع است. نمونه‌ها با استفاده از تکنیک‌های پلاسمای جفت شده‌ی القایی (ICP) و فلورسانس پرتو ایکس (XRF) برای ۲۸ عنصر و اکسید تجزیه شدند. نتایج تجزیه برای عناصر برحسب ppm و برای اکسیدها برحسب درصد است. لازم به ذکر است که در پردازش‌های آماری، داده‌های برحسب درصد، با توجه به عدد اتمی به یکای ppm تبدیل و پردازش بر روی آن‌ها صورت گرفته است.

از عوامل مهم برای دست‌یابی به نتایج بهینه از عملیات اکتشافی، تجزیه‌ی دقیق نمونه‌ها است [۷]. برای بررسی دقت تجزیه‌ی نمونه‌ها، از نتایج تجزیه‌ی ۳۰ نمونه‌ی تکراری استفاده و درصد خطای تجزیه برای ۱۸ عنصر محاسبه شد که نتایج آن در شکل ۱ ارایه شده است.



شکل ۱- نمودار ستونی خطای تجزیه‌ای محاسبه شده برای عناصر مختلف.

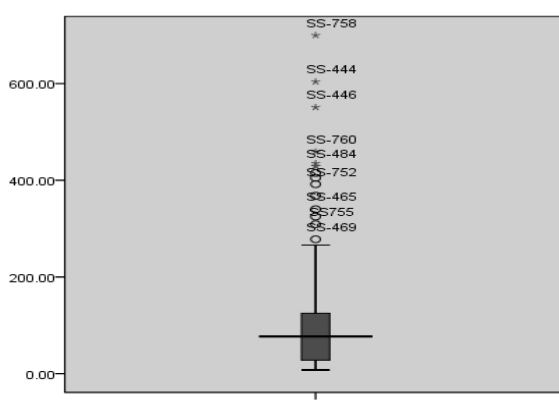


جدول ۱- پارامترهای آماری داده‌های خام.

عنصر	Zn	V	P <sub>2</sub> O <sub>5</sub> *	MnO*	Cu	Fe <sub>2</sub> O <sub>3</sub>
تعداد داده‌های معتبر	۸۴۳	۸۴۳	۸۴۳	۸۴۳	۸۴۳	۸۴۳
میانگین	۷۰,۷	۲۶,۴۳	۰,۱۰	۰,۱۰	۸۶,۲۵	۷۰,۳۳
میانه	۵,۴۰	۲۱	۰,۱۰	۰,۱۰	۷۷	۶۳
مد	۵,۳۰	۳,۷۵	۰,۱۰	۰,۱۰	۷,۵۰	۵۵
انحراف معيار	۱۳,۷۹	۲۰,۲۰	۰,۰۵	۰,۰۱	۷۸,۲۲	۳۴,۰۶
واريانس	۱۹۰,۲۸	۴۰,۸	۰,۰۰	۰,۰۰	۵۵۰,۸	۱۱۶۰
چوکی	۲۸,۳۷	۴,۱۹	۰,۴۳	۱۲,۷۷	۲,۴۵	۳,۳۷
کشیدگی	۸۱۷,۰۴	۳۶,۴۸	۲,۷۳	۳۰۶,۱۹	۱۲,۳۵	۱۹,۲۷
کمینه	۲,۷۰	۳,۷۵	۰,۰۱	۰,۰۱	۷,۵۰	۷۰,۵۰
بيشينه	۴,۰۳	۲۸,۲	۰,۳۹	۰,۴۰	۷۰,۰	۳۹۶
چارک‌ها	۴,۸۰	۱۴	۰,۰۸	۰,۱۰	۲۸	۵۳
	۵,۴۰	۲۱	۰,۱۰	۰,۱۰	۷۷	۶۳
	۶,۱۰	۲۹	۰,۱۳	۰,۱۱	۱۲۵	۷۸
						۲۵

\*داده‌های P<sub>2</sub>O<sub>5</sub> و MnO بر حسب درصد و سایر داده‌ها بر حسب ppm است.

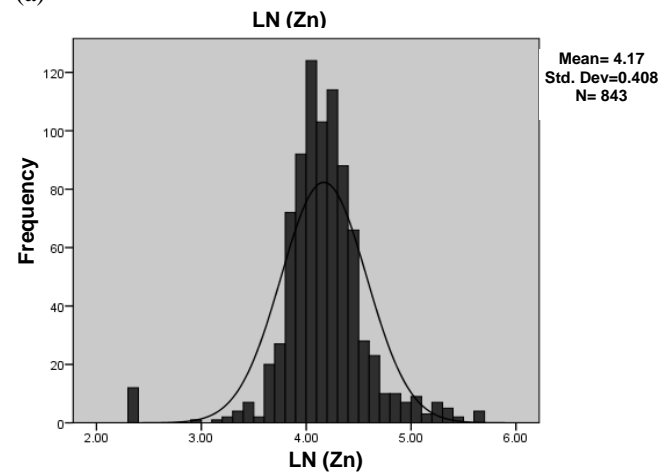
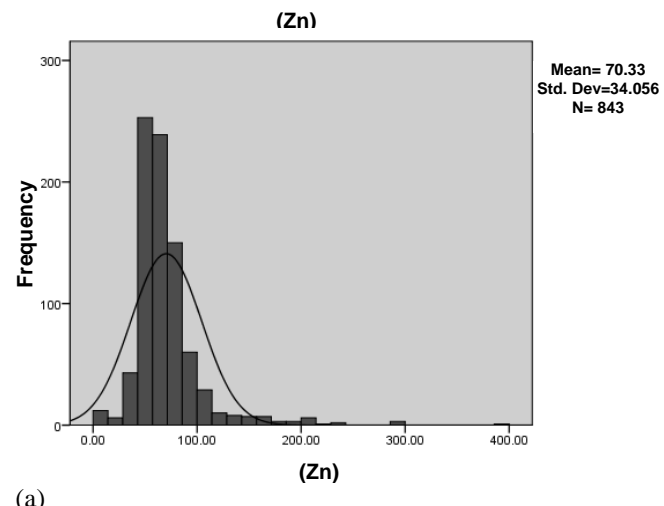
.).۲



شکل ۳- نمودار جعبه‌ای عنصر روی برای جداسازی مقادیر خارج از رده.

جدول ۲- پارامترهای آماری داده‌های بهنجار شده.

عنصر	Zn	V	P <sub>2</sub> O <sub>5</sub>	MnO	Cu	Fe <sub>2</sub> O <sub>3</sub>
تعداد داده‌های معتبر	۸۴۳	۸۴۳	۸۴۳	۸۴۳	۸۴۳	۸۴۳
میانگین	۵,۵۲	۲,۹۳	۰,۱۰۳	۰,۱۰۴	۴,۰۵	۴,۱۷
میانه	۵,۴۰	۳,۰۴	۰,۱۰	۰,۱۰	۴,۳۴	۴,۱۴
مد	۵,۳۰	۱,۳۲	۰,۱۰	۰,۱۰	۲,۰۱	۴,۰۱
انحراف معيار	۱,۱۶	۰,۷۶	۰,۰۴۶	۰,۰۰۶۸	۱,۰۰۳	۰,۴۱
واريانس	۱,۳۵	۰,۵۷	۰,۰۰۲	۰,۰۰	۱,۰۱	۰,۱۷
چوکی	۰,۹۷	-۰,۵۲	۰,۰۲۳	۱,۴	-۰,۵۹	-۰,۴۴
کشیدگی	۰,۹۶	۰,۳۴	۰,۳۸۲	۱,۸۴	-۰,۴۸	۵,۲۱
کمینه	۲,۷۰	۱,۳۲	۰,۰۱	۰,۰۹	۲,۰۱	۲,۴۰
بيشينه	۹,۲۰	۴,۹۸	۰,۲۶	۰,۱۳	۶,۵۵	۵,۶۶
چارک‌ها	۴,۸۰	۲,۶۴	۰,۰۸	۰,۱۰	۳,۳۳	۳,۹۷
	۵,۴۰	۳,۰۴	۰,۱۰	۰,۱۰	۴,۳۴	۴,۱۴
	۶,۱۰	۳,۳۷	۰,۱۳	۰,۱۱	۴,۸۳	۴,۳۶
						۷۵

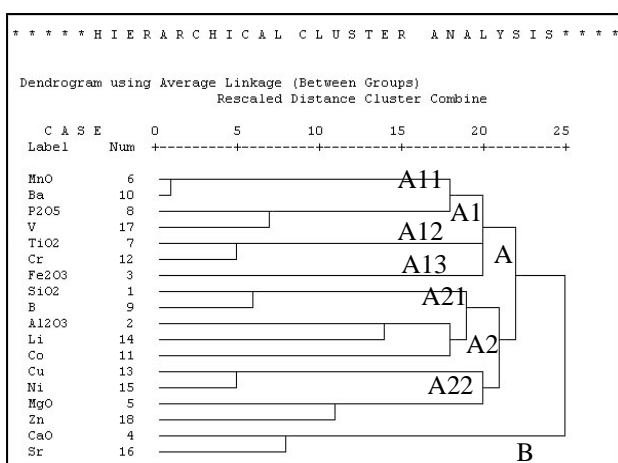


شکل ۲- هیستوگرام توزیع داده‌های خام (a) و بهنجار شده‌ی (b) عنصر روی.



حاصل به صورت دندروگرام نمایش داده شده است (شکل ۴). برای به دست آوردن بهترین دندروگرام از روش‌های مختلف تجزیه‌ی خوش‌های استفاده شد و در نهایت بهترین دندروگرام با استفاده از روش اتصال میانگین به دست آمد.

در ساختار خوش‌های داده‌ها دو گروه اصلی A و B و ۵ زیر‌گروه مشاهده می‌شود (شکل ۴). برای مثال، زیر‌گروه A11 شامل دو زیر‌رده‌ی  $\text{Ba}-\text{MnO}$  و  $\text{V}-\text{P}_2\text{O}_5$  است. در زیر‌رده‌ی A1 و  $\text{MnO}$  با نزدیکی نسبتاً مناسبی به هم متصل گردیده‌اند. در زیر‌رده‌ی دوم هم  $\text{P}_2\text{O}_5$  و V قرار دارند که یک ردیاب برای بررسی حضور کانسارهای اورانیم رسوبی یا گرانیتی در منطقه  $\text{MgO}-\text{Zn}$  می‌باشد [۱۰]. زیر‌گروه A22 دو زیر‌رده‌ی  $\text{Cu}-\text{Ni}$  و  $\text{Cu}-\text{Ni}$  را دربرمی‌گیرد. در زیر‌رده‌ی اول عناصر Ni و Cu بیشترین نزدیکی را نشان می‌دهند که همراهی این دو عنصر می‌تواند به صورت هاله‌ی ژئوشیمیایی در اطراف کانسارهای ماسیوسولفید یا کانسارهای مس ناشی از توده‌های نفوذی مشاهده گردد.



شکل ۴- دندروگرام حاصل از تجزیه‌ی خوش‌های داده‌های رسوب آبراهه‌ای برگه‌ی اسفورودی.

### ۳-۳- تحلیل ضرایب همبستگی

ضریب همبستگی، ارتباط ووابستگی متغیرهای مختلف را نشان می‌دهد. در مطالعات ژئوشیمیایی عوامل مختلفی از قبیل عوامل ژنتیکی و غیره می‌تواند در ارتباط ووابستگی متغیرها به یکدیگر مؤثر باشد و مقدار این وابستگی را می‌توان با یک عدد بیان نمود که همان ضریب همبستگی است [۸]. برای محاسبه‌ی ضریب همبستگی از روش مرتبه‌ای اسپیرمن که مستقل از نوع تابع توزیع متغیر مورد بررسی است، استفاده شده است. ماتریس ضرایب همبستگی داده‌ها در جدول ۳ آورده شده است. در این جدول معنی دار بودن هر یک از ضرایب همبستگی در سطح اعتماد ۹۵ درصد توسط یک ستاره و بسیار معنی‌دار در سطح اعتماد ۹۹ درصد با دو ستاره مشخص شده است. معمولاً ضریب همبستگی کمتر از ۰,۲ نشان‌گر همبستگی بسیار ضعیف بین دو متغیر است، همبستگی‌هایی که ضرایب آن‌ها بین ۰,۲-۰,۴ است، نشان‌دهنده‌ی همبستگی ضعیف بین متغیرها است. با ضرایب همبستگی بین ۰,۶-۰,۸، مانند ضریب همبستگی بین موقیت‌آمیز گروهی وجود دارد. با ضرایب همبستگی ۰,۸-۰,۶ میان عناصری چون آهن و تیتانیم، می‌توان تخمین گروهی دقیق انجام داد. با افزایش همبستگی، در محدوده‌های بالاتر امکان تخمین‌های منفرد دقیق نیز وجود دارد. ضرایب همبستگی بالاتر از ۰,۸ نشان‌دهنده‌ی همبستگی بسیار نزدیک بین متغیرها است.

### ۳-۴- تجزیه و تحلیل خوش‌های

در تحلیل خوش‌های، هدف، دست‌یابی به ملاکی برای طبقه‌بندی هر چه مناسب‌تر متغیرها براساس تشابه هرچه بیش‌تر درون گروهی و اختلاف هرچه بیش‌تر بین گروهی است [۸]. برای گروه‌بندی داده‌ها از روش سلسله مراتبی استفاده و نتیجه‌ی

جدول ۳- ضرایب همبستگی داده‌های ژئوشیمیایی.

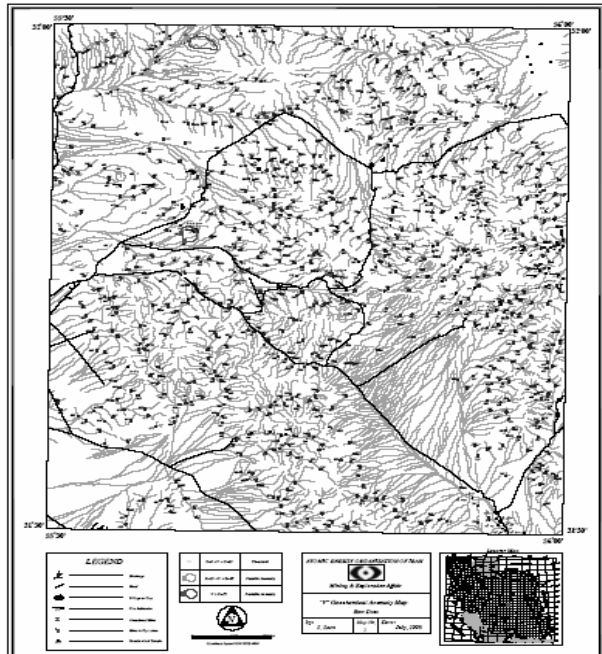
$\text{Fe}_7\text{O}_4$	۱,۰۰							
$\text{MnO}^{*+}$	**۰,۴۲۳	۱,۰۰						
$\text{P}_2\text{O}_5^{*+}$	**۰,۳۶۴	**۰,۳۷۶	۱,۰۰					
$\text{Co}$	**۰,۵۱۹	**۰,۱۹۰	**۰,۲۳۵	۱,۰۰				
$\text{Cu}$	**۰,۲۶۶	**۰,۱۰۳	**۰,۱۲۴	**۰,۳۳۳	۱,۰۰			
$\text{Sr}$	-۰,۰۵	**-۰,۱۹۵	**-۰,۲۳۱	۰,۰۷	۰,۰۲	۱,۰۰		
$\text{V}$	**۰,۲۴۲	**۰,۴۴۷	**۰,۲۵۴	**-۰,۰۹۰	*۰,۰۷۷	*-۰,۰۷۲	۱,۰۰	
$\text{Zn}$	**۰,۲۹۷	**۰,۲۰۸	**۰,۱۳۷	**۰,۳۳۸	**۰,۳۷۹	**۰,۱۲۲	-۰,۰۵	۱,۰۰
	$\text{Fe}_7\text{O}_4$	$\text{MnO}$	$\text{P}_2\text{O}_5$	$\text{Co}$	$\text{Cu}$	$\text{Sr}$	$\text{V}$	$\text{Zn}$

<sup>+</sup> داده‌های  $\text{P}_2\text{O}_5$  و  $\text{MnO}$  بر حسب درصد و بقیه بر حسب ppm هستند.

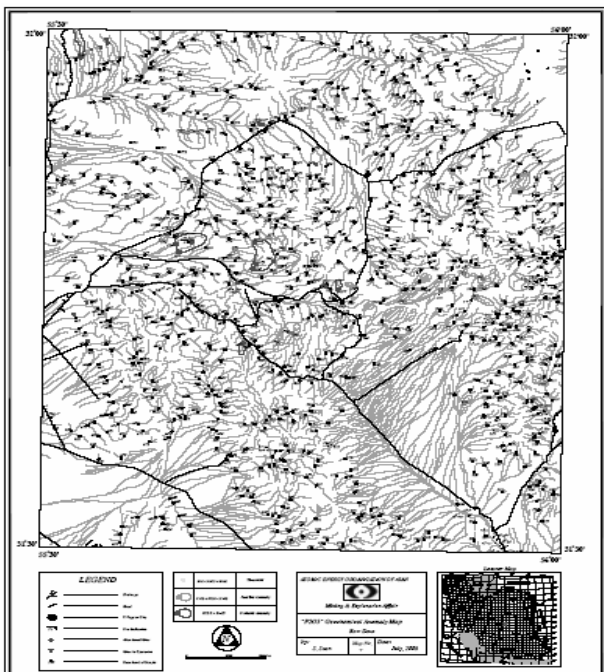


### ۳-۴ تعیین آنومالی‌های ژئوشیمیایی

اورانیم در کانسارهای آذرین و متاسوماتیک می‌باشد [۱۰ و ۱۴] و نیز مطابقت آنومالی‌های این عنصر با عناصر روی، مس، آهن و ... در این محدوده، می‌تواند نویدبخش کانی‌سازی اورانیم در این نواحی باشد.



شکل ۵- نقشه‌ی نمادین آنومالی‌های داده‌های رسوبات آبراهه‌ای عنصر وانادیم در برگه‌ی ۱:۱۰۰۰۰ اسفورده.



شکل ۶- نقشه‌ی نمادین آنومالی‌های داده‌های رسوب آبراهه‌ای  $P_2O_5$  در برگه‌ی ۱:۱۰۰۰۰ اسفورده.

روش‌های آماری مختلفی برای تعیین مقادیر آستانه‌ای و آنومالی وجود دارد که با مقایسه‌ی نتایج حاصل از هر روش، آنومالی‌های نهایی انتخاب می‌شوند [۱۱]. از جمله‌ی این روش‌ها می‌توان روش حد آستانه‌ای، روش P.N، روش انفصال آماری و روش-های ساختاری مانند روش فازی، فرکتال و شبکه‌ی عصبی رانام برد [۱۲]. هر یک از این روش‌ها دارای مزایا و معایبی هستند. در این پژوهه برای تعیین آنومالی‌ها از روش حد آستانه‌ای  $\bar{X} + 2S$  استفاده شد. مقدار حد آستانه‌ای برابر مقدار میانگین به اضافه دو برابر انحراف معیار در نظر گرفته شد. بدین ترتیب برای هر متغیر، چهار گروه، متمایز می‌گردد.

$X$	<	مقدار زمینه	<	$X + 1S$
$X + 1S$	<	حد آستانه‌ای	<	$X + 2S$
$X + 2S$	<	آنومالی ممکن	<	$X + 3S$
$X + 3S$	>	آنومالی احتمالی		

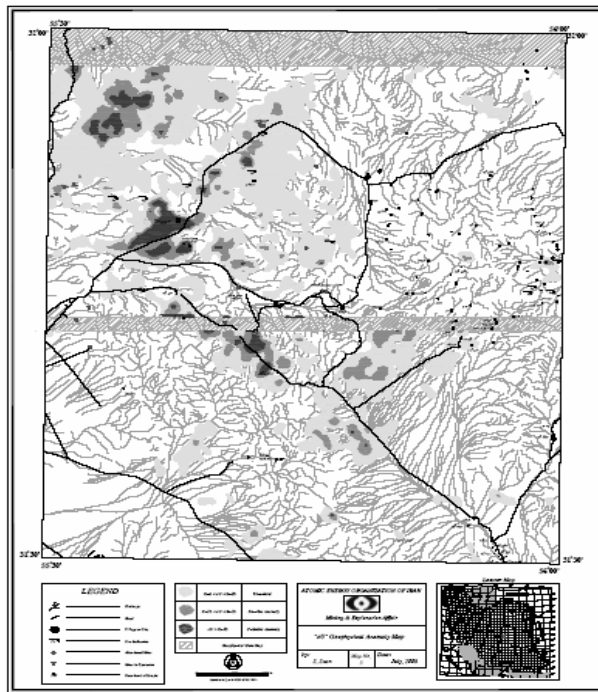
شرط استفاده از روش فوق برای به دست آوردن مقادیر فوق الذکر، بهنجار بودن تابع توزیع عناصر می‌باشد.

با توجه به این که مقدار عنصر در هر نمونه‌ی رسوب آبراهه‌ای، معرفی از حوضه‌ی آنومالی‌ها از نقشه‌های نمادین استفاده پژوهه برای ترسیم نقشه‌ی آنومالی‌ها از نقشه‌های نمادین استفاده شده است. نقشه‌ی نمادین برای عناصر و ترکیبات  $Cu$ ,  $V$ ,  $Zn$ ,  $MnO$ ,  $Co$ ,  $P_2O_5$ ,  $Li$ ,  $Fe_2O_3$  نقشه‌ی آنومالی  $V$  و  $P_2O_5$  به ترتیب، در شکل‌های ۵ و ۶ نشان داده شده است. دوایر زرد رنگ در نقشه‌ی آنومالی‌ها معرف نقاط دارای مقادیر زمینه و دوایر و خطوط نارنجی و قرمز به ترتیب معرف آنومالی‌های ممکن و احتمالی است.

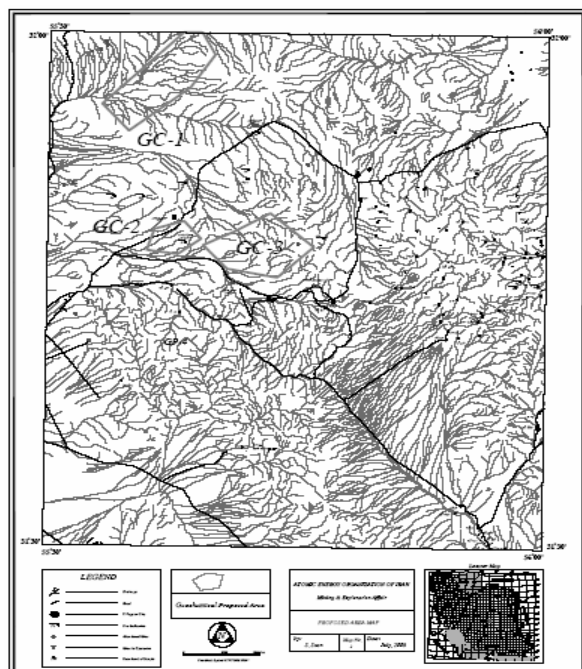
مقادیر بزرگ‌تر از  $500 \text{ ppm}$  در نمونه‌های رسوبات آبراهه‌ای برای عنصر وانادیم، مهم تلقی می‌شود. آنومالی‌های این عنصر در محدوده‌ی برگه‌ی اسفورده وسعت قابل ملاحظه‌ای ندارند و تنها در بخش شمال‌غربی و غربی برگه‌ی اسفورده دیده می‌شوند. با توجه به شکل ۶، آنومالی‌های  $P_2O_5$  در بخش مرکزی و شرقی برگه به خوبی قابل مشاهده‌اند. اغلب این آنومالی‌ها با توده‌های اسیدی به ویژه گرانیتی مرتبط بوده و در سری سنگ‌های رسوبی مجاور آن‌ها به خصوص در توالی‌های شیل و ماسه‌سنگ قرار گرفته‌اند. از آنجا که فسفر به عنوان یکی از عناصر ردياب



ماسه‌سنگی برای مطالعات بیشتر و فعالیت‌های اکتشاف نیمه‌تفصیلی، اهمیت بیشتری نسبت به توده‌های نفوذی دارند.



شکل ۷- نقشه‌ی آنومالی داده‌های رادیومتری هوابردی برای اورانیم در برگه‌ی ۱:۱۰۰,۰۰۰ اسفورده‌ی.



شکل ۸- نقشه‌ی جانمایی محدوده‌های پتانسیل‌دار برای اکتشاف تفصیلی اورانیم در برگه‌ی ۱:۱۰۰,۰۰۰ اسفورده‌ی.

#### ۴- بحث و نتیجه‌گیری

چون در تجزیه‌ی نمونه‌ها، عناصر اورانیم و توریم مورد تجزیه قرار نگرفته بودند، برای رسیدن به هدف تعیین شده در این کار پژوهشی که تعیین پتانسیل عناصر پرتوزا در ناحیه است، از عناصر ردياب کانسارهای اورانیم برای پتانسیل‌یابی استفاده شد. در کانسارهای رسویی و رگه‌ای، مهم‌ترین عناصر ردياب مورد استفاده عناصر روی، وانادیم، فسفر، مس، آهن، کبات، منگنز و لیتیم هستند [۱۵].

آنومالی‌های وانادیم که به عنوان یکی از مهم‌ترین عناصر ردياب برای کانسارهای اورانیم رسویی مطرح هستند [۱۶]، در بخش شمال غرب برگه و در محدوده‌ی رخمنون کانگلومرای شورزن و هم‌چنین در غرب محدوده و در رخمنون واحدهای ماسه‌سنگی ژوراسیک گسترش زیادی دارند. با توجه به نقشه‌ی آنومالی اورانیم حاصل از داده‌های رادیومتری هوابردی ناحیه اسفورده (شکل ۷)، آنومالی‌های اورانیم به خوبی توجیه می‌شوند. آنومالی‌های این عنصر با آنومالی‌های عناصر فسفر، منگنز و آهن مطابقت دارد. این عناصر نیز به عنوان ردياب‌های مهم اورانیم برای محیط‌های رسویی مطرح‌اند و لذا محدوده‌هایی را که آنومالی‌های این عناصر در آنجا تطابق دارد می‌توان به عنوان پتانسیل‌هایی برای پی‌جویی اورانیم در ناحیه‌ی برگه‌ی اسفورده معرفی کرد.

با توجه به مطالعات انجام شده بر روی داده‌های ژئوشیمیایی و مطابقت با نقشه‌های رادیومتری هوابرد موجود نتایج زیر حاصل شد. براساس مطالعات ژئوشیمیایی و مطابقت آن‌ها با داده‌های ژئوفیزیک هوابرد، عناصر وانادیم، فسفر، منگنز، روی و تاحدودی مس به عنوان ردياب‌های مهم اورانیم در برگه‌ی اسفورده انتخاب شدند.

با توجه به نتایج حاصل از مطالعه‌ی نقشه‌ی آنومالی عناصر ردياب مورد بحث در برگه‌ی اسفورده، سه محدوده براساس داده‌های ژئوشیمیایی به عنوان مناطق دارای پتانسیل کانی‌سازی انتخاب شد. موقعیت این سه محدوده در شکل ۸ نشان داده شده است. از این سه محدوده، محدوده‌ی GC-۱ توالی مارن و کانگلومرای واقع در بخش شمال‌غربی ناحیه و دو محدوده دیگر، رخمنون‌های ماسه‌سنگی و هم‌چنین توده‌های نفوذی اطراف معدن اسفورده و حد فاصل آن تا معدن کوشک را شامل می‌شود. در محدوده‌های GC-۲ و GC-۳، رخمنون‌های



- تهیه‌ی نقشه‌ی زمین‌شناسی و زمین‌شناسی ساختمانی محدوده‌ها در مقیاس ۱:۲۵,۰۰۰.

- بررسی نوع توده‌های گرانیتی به لحاظ تقسیم‌بندی‌های معمول سنگ‌شناسی و کانی‌شناسی و بررسی منشأ و ارتباط آن‌ها.

- بررسی پتروگرافی ماسه‌سنگ‌ها و جدایش ماسه‌سنگ‌های کوارتزی از انواع دیگر آن‌ها.

برای انجام اکتشافات بعدی در محدوده‌های معرفی شده در بالا، مراحل زیر پیشنهاد می‌شود.

- انجام مطالعات ژئوشیمیایی به روش نمونه‌برداری از رسوب آبراهه‌ای و لیتوژئوشیمیایی در مقیاس ۱:۲۵,۰۰۰ همراه با تجزیه‌ی نمونه‌ها برای عناصر پرتوزا و همچنین عناصر نادر خاکی در سه محدوده‌ی یاد شده.

- انجام برداشت‌های رادیومتری زمینی در مقیاس ۱:۲۵,۰۰۰ در سه محدوده‌ی پتانسل دار مورد نظر.

## References:

1. M. Tauchid, D.H. Underhill, "Uranium deposits of the world," Proceeding of Exploration 97, 177- 180 (1997).

2. F.J. Dahlkamp, "Uranium ore deposits," Springer & Exploration Techniques. V. 460, 23-24 (1993).

3. V.G. Melkov, "Methods of prospecting for uranium deposits," Journal of Nuclear Energy. V. 3, 158-167 (1956).

4. ب. سامانی، "زمین‌شناسی اورانیم و منابع آن،" پایگاه ملی داده‌های علوم زمین کشور (۱۳۸۲).

5. ا. مشکانی، "گزارش اکتشافات ژئوشیمیایی در برگه ۱:۱۰۰۰۰ اسفورددی،" سازمان زمین‌شناسی و اکتشافات معدنی کشور (۱۳۸۲).

6. خ. جمشیدی، ع. افشاریان‌زاده، م. سهیلی، م. مهدوی، "شرح نقشه زمین‌شناسی برگه ۱:۱۰۰،۰۰۰ اسفورددی،" سازمان زمین‌شناسی و اکتشافات معدنی کشور، چاپ افست تهران (۱۳۷۰).

7. L.S. Labaschange, R. Holdsworth, T. Stone, "Regional stream sediment geochemical survey of south africa," Journal of Geochemical Exploration. V. 47, 283-296 (1993).

8. ع. ا. حسنی‌باک، م. شرف‌الدین، "تحلیل داده‌های اکتشافی،" تهران، مؤسسه چاپ و انتشارات دانشگاه تهران (۱۳۸۰).

9. س. پرنده، "روش‌های اکتشاف ژئوشیمیایی ذخایر معدنی،" تهران، انتشارات سازمان زمین‌شناسی و اکتشافات معدنی کشور (۱۳۷۵).

10. Zielinski, Robert, "Tuffaceous sediments as source rocks for uranium: a case study of the white river formation. Wyoming," Journal of Geochemical Exploration. V. 18, 285-306 (1983).

11. A. Sadeghi, Steele, F. Kenneth, "Use of stream sediment elemental enrichment factors in geochemical exploration for carbonatite & uranium, arkansas, U.S.A., " Journal of Geochemical Exploration. V. 32, 279-286 (1989).

12. ا. حبیب‌نیا، "مطالعه زمین‌شناسی اقتصادی و ارزیابی پتانسیل اکتشافی اورانیم و سایر عناصر پرتوزا در ورقه ۱:۵۰۰۰۰ مغانجی با استفاده از داده‌های ژئوشیمی رسوبات آبراهه‌ای،" پایان‌نامه کارشناسی ارشد، دانشکده مهندسی معدن و متالورژی، دانشگاه صنعتی امیرکبیر (۱۳۸۵).

13. G.J.S.ed. Govet, "Hand book of exploration geochemistry," Amesterdam: Elsevier (1994).

14. L. James, Jr. Jorden, "Geochemical coupling of uranium & phosphorous in soils overlying an unmined uranium deposit: coles hill, virginia," Journal of Geochemical Exploration. V. 91, 56-70 (2006).

15. International Atomic Energy Agency (IAEA), "Critical Geochemical Exploration for Uranium," IAEA-TECDOC Technical Reports Series No. 284, IAEA, Vienna, Austria (1998).

16. W. Rose, Arthur; J. Wright, Robert, "Geochemical exploration models for sedimentary uranium deposits," Journal of Geochemical Exploration. V. 13, 153-179 (1980).